



REGIONE SICILIA
COMUNI DI MARSALA (TP) E TRAPANI (TP)

PROGETTO

Impianto Agrivoltaico integrato innovativo denominato
"DELIA" avente potenza d'impianto di 50,561 MW e relative
opere connesse
Comuni di Marsala (TP) e Trapani

TITOLO

Rel. 08 - Relazione sull'impatto elettromagnetico

PROPONENTE



ENGIE DELIA S.r.l.

Sede legale e Amministrativa:

Via Chiese 72

20126 Milano (MI)

PEC: engiedelia@legalmail.it

PROGETTISTA



SCM ingegneria S.r.l.

Via Carlo del Croix, 55

Tel.: +39 0831-728955

72022 Latiano (BR)

Mail: info@scmingegneria.com

Dott. Ing. Daniele Cavallo



Scala	Formato Stampa	Cod.Elaborato	Rev.	Nome File	Foglio
	A4	REL08	00	REL08-Relazione sull'impatto elettromagnetico	1 di 27

Rev.	Data	Descrizione	Elaborato	Controllato	Approvato
00	15/02/2024	Progetto definitivo impianto agrivoltaico e opere connesse	L. Maculan	D. Cavallo	D. Cavallo

INDICE

1	INTRODUZIONE	3
2	DATI GENERALI	3
2.1	DATI DEL PROPONENTE	3
2.2	LOCALITÀ DI REALIZZAZIONE DELL'INTERVENTO	3
2.3	DESTINAZIONE D'USO	4
2.4	DATI CATASTALI	4
2.5	CONNESSIONE	5
3	NORMATIVA DI RIFERIMENTO	6
4	CENNI DI TEORIA	9
4.1	CAMPI ELETTRICI	9
4.2	CAMPI MAGNETICI	11
5	CALCOLO DEI CAMPI ELETTROMAGNETICI	13
5.1	CAMPI ELETTROMAGNETICI IMPIANTO FOTOVOLTAICO	13
5.1.1	Moduli fotovoltaici	13
5.1.2	Inverter	13
5.1.3	Cabine di conversione (Inverter station)	13
5.1.4	Cabine 36 kV e Cabina putente	14
5.2	CAMPI ELETTROMAGNETICI CAVI 36 kV	14
5.2.1	Campi elettrici	14
5.2.2	Campi magnetici	15

1 INTRODUZIONE

Il progetto prevede la realizzazione di un impianto agrivoltaico integrato innovativo, mediante tecnologia fotovoltaica con tracker monoassiale, che la Società Engie Delia S.r.l. (di seguito "la Società") intende realizzare nei comuni di Marsala e Trapani (TP).

L'impianto avrà una potenza installata di 50561,28 kWp per una potenza di 45000 kW in immissione, e l'energia prodotta verrà immessa sulla rete RTN in alta tensione.

L'area interessata dal Parco Fotovoltaico ricade su una superficie catastale complessiva di circa 70 ettari, dei quali 62 recintati per l'impianto. Il territorio è caratterizzato da una morfologia pressoché pianeggiante, l'area d'impianto è posta all'incirca tra le quote 45 e 70 m s.l.m.

L'impianto sarà costituito da pannelli fotovoltaici ad alto rendimento che permetteranno di ottenere una produzione annua netta stimata di energia elettrica di circa 96,68 GWh/anno, pari al consumo medio annuo di energia elettrica di 38.700 famiglie.

Il ricorso alla produzione di energia da fonte rinnovabile, quale quella fotovoltaica, costituisce una strategia prioritaria per ridurre le emissioni di inquinanti in atmosfera provocate dalla produzione di energia elettrica mediante processi termici. Questo progetto apporterà infatti importanti benefici ambientali sia in termini di mancate emissioni di inquinanti che di risparmio di combustibile: l'impianto consentirà di evitare l'emissione di circa 43.000 t/anno di anidride carbonica. Il bilancio sull'ambiente sarà pertanto nettamente positivo.

2 DATI GENERALI

2.1 DATI DEL PROPONENTE

Di seguito i dati anagrafici del soggetto proponente:

SOCIETA' PROPONENTE	
Denominazione	ENGIE DELIA S.R.L.
Indirizzo sede legale	Via Chiese 72 – 20126 Milano (MI)
Codice Fiscale/Partita IVA	12367400962
Capitale Sociale	10.000,00
PEC	engiedelia@legalmail.it

Tabella 2-1 – Informazioni principali della Società Proponente

2.2 LOCALITÀ DI REALIZZAZIONE DELL'INTERVENTO

L'impianto fotovoltaico oggetto del presente documento e il relativo cavidotto 36 kV saranno realizzati nel comune di Marsala (TP).

Le opere di connessione saranno invece realizzate nel comune di Trapani (TP).

2.3 DESTINAZIONE D'USO

L'area oggetto dell'intervento ha una destinazione d'uso agricolo.

2.4 DATI CATASTALI

I terreni interessati dall'intervento per quanto riguarda l'area di impianto, così come individuati da catasto del comune di Marsala (TP), sono:

- Area 01:
 - FG 60 particelle 15, 16, 17, 18, 19, 20, 21, 22, 23, 24, 25, 26, 27, 28, 29, 30, 39, 40, 100, 102, 106, 107, 108, 109, 332, 333, 334, 335, 336, 380, 444;
- Area 02:
 - FG 60 particelle 218, 219, 243, 244, 245, 246, 247, 379, 381;
- Area 03:
 - FG 60 particelle 137, 138, 139, 140, 141, 145, 147, 203, 223, 224, 225, 248, 249, 250, 251, 252, 254, 258, 453, 585, 586, 589, 590, 605;
- Area 04:
 - FG 60 particelle 133, 134, 135, 136, 143, 180, 181, 182, 221, 256, 452;
- Area 05:
 - FG 60 particelle 126, 130, 131, 204, 212, 213, 602, 603;
- Area 06:
 - FG 60 particella 6, 128.

La cabina utente a 36 kV che raccoglie la potenza di impianto per il collegamento alla rete nazionale sarà realizzata all'interno dell'Area 03 dell'impianto.

La futura stazione RTN 220/36 kV "Fulgatore 2" cui verrà collegato l'impianto agrivoltaico Delia interesserà invece i seguenti terreni, così come individuati da catasto del comune di Trapani (TP):

- FG 292 particella 4, 129, 131, 133, 141, 142, 202, 202, 211, 216

Tutti i terreni su cui saranno installati i moduli fotovoltaici e realizzate le infrastrutture necessarie, risultano di proprietà privata e corrispondono a terreni ad uso prevalentemente agricolo.

Luogo di installazione	Comune di Marsala (TP)
Potenza di Picco (kWp)	50561,28 kWp
Potenza Nominale (kW)	50561,28 kWp
Potenza massima in immissione	45000 kW
Informazioni generali del sito	Sito pianeggiante ben raggiungibile da strade comunali

Tipo di strutture di sostegno	Inseguitore monoassiale	
Coordinate impianto Area 01	Latitudine	37°51'15.06"N
	Longitudine	12°35'39.70"E
Coordinate impianto Area 02	Latitudine	37°51'23.27"N
	Longitudine	12°35'35.31"E
Coordinate impianto Area 03	Latitudine	37°51'10.67"N
	Longitudine	12°35'43.84"E
Coordinate impianto Area 04	Latitudine	37°51'31.13"N
	Longitudine	12°35'51.34"E
Coordinate impianto Area 05	Latitudine	37°51'33.47"N
	Longitudine	12°35'55.27"E
Coordinate cabina utente 36 kV	Latitudine	37°51'11.57"N
	Longitudine	12°35'44.11"E

Tabella 2-2 – Dati di impianto

2.5 CONNESSIONE

La Società SCM Ingegneria S.r.l ha presentato a Terna S.p.A. (“il Gestore”) la richiesta di connessione alla RTN per una potenza in immissione di 45 MW. Alla richiesta è stato assegnato Codice Pratica 202102457.

In data 26 Gennaio 2022, il gestore ha trasmesso la soluzione tecnica minima generale per la connessione (STMG), accettata in data 4 Marzo 2022. La STMG stata volturata alla Società proponente.

Lo schema di allacciamento alla RTN prevede che l’impianto venga collegato in antenna a 36 kV con la sezione a 36 kV con una nuova stazione elettrica di trasformazione (SE) a 220/36 kV della RTN, denominata “Fulgatore 2”, da inserire in entra - esce sulla linea RTN a 220 kV “Fulgatore - Partanna”, previa:

- realizzazione del nuovo elettrodotto RTN 220 kV “Fulgatore – Partinico”, di cui al Piano di Sviluppo Terna;
- realizzazione di un nuovo elettrodotto RTN a 220 kV di collegamento dalla stazione di cui sopra con la stazione 220/150 kV di Fulgatore, previo ampliamento della stessa;
- realizzazione di un nuovo elettrodotto RTN a 220 kV di collegamento dalla stazione di cui sopra con la stazione 220/150 kV di Partanna, previo ampliamento della stessa.

La cabina utente 36 kV e l’elettrodotto in antenna a 36 kV per il collegamento dell’impianto alla stazione RTN Fulgatore 2 costituiscono impianto di utenza per la connessione, mentre lo stallo arrivo produttore a 36 kV nella medesima stazione costituisce impianto di rete per la connessione.

3 NORMATIVA DI RIFERIMENTO

Le principali norme a cui si fa riferimento sono:

- DPCM 8/7/2003 “Fissazione dei limiti di esposizione, dei valori di attenzione e degli obiettivi di qualità per la protezione della popolazione dalle esposizioni ai campi elettrici e magnetici alla frequenza di rete (50 Hz) generati dagli elettrodotti”;
- Legge n. 36 del 22/02/2001 “Legge quadro sulla protezione dalle esposizioni a campi elettrici, magnetici ed elettromagnetici” e s.m.i;
- DM 29/05/08 “Approvazione della metodologia di calcolo per la determinazione delle fasce di rispetto per gli elettrodotti”
- Norma CEI 211-4 “Guida ai metodi di calcolo dei campi elettrici e magnetici generati da linee elettriche”;
- "Linea Guida per l'applicazione del § 5.1.3 dell'Allegato al DM 29/05/08" emanata da ENEL Distribuzione S.p.A.;
- Norma CEI 106-11 “Guida per la determinazione delle fasce di rispetto per gli elettrodotti secondo le disposizioni del DPCM 8/07/2003” (Art.6).
- Norma CEI 211-7 “Guida per la misura e per la valutazione dei campi elettromagnetici nell'intervallo di frequenza 10 kHz - 300 GHz, con riferimento all'esposizione umana”
- DLgs 1 agosto 2016, n. 159 “Attuazione della direttiva 2013/35/UE sulle disposizioni minime di sicurezza e di salute relative all'esposizione dei lavoratori ai rischi derivanti dagli agenti fisici (campi elettromagnetici) e che abroga la direttiva 2004/40/CE.”

Il 22 Febbraio 2001 l'Italia ha promulgato la Legge Quadro n.36 sulla protezione dalle esposizioni a campi elettrici, magnetici ed elettromagnetici (CEM) a copertura dell'intero intervallo di frequenze da 0 a 300.000 MHz.

Tale legge delinea un quadro dettagliato di controlli amministrativi volti a limitare l'esposizione umana ai CEM e l'art. 4 di tale legge demanda allo Stato le funzioni di stabilire, tramite Decreto del Presidente del Consiglio dei Ministri: i livelli di esposizione, dei valori di attenzione e degli obiettivi di qualità, le tecniche di misurazione e rilevamento.

Nel DPCM 8 Luglio 2003 “Fissazione dei limiti di esposizione, dei valori di attenzione e degli obiettivi di qualità per la protezione della popolazione dalle esposizioni ai campi elettrici e magnetici alla frequenza di rete (50 Hz) generati dagli elettrodotti”, vengono fissati i limiti di esposizione e i valori di attenzione, per la protezione della popolazione dalle esposizioni a campi elettrici e magnetici alla frequenza di rete (50 Hz) connessi al funzionamento e all'esercizio degli elettrodotti.

In particolare, negli articoli 3 e 4 vengono indicate le seguenti 3 soglie di rispetto per l'induzione magnetica:

Nel caso di esposizione a campi elettrici e magnetici alla frequenza di 50 Hz generati da elettrodotti non deve essere superato il limite di esposizione di 100 μ T per l'induzione magnetica e 5kV/m per il campo elettrico intesi come valori efficaci” [art.

3, comma 1];

“A titolo di misura di cautela per la protezione da possibili effetti a lungo termine, eventualmente connessi con l'esposizione ai campi magnetici generati alla frequenza di rete (50 Hz), nelle aree gioco per l'infanzia, in ambienti abitativi, in ambienti scolastici e nei luoghi adibiti a permanenze non inferiori a quattro ore giornaliere, si assume per l'induzione magnetica il valore di attenzione di 10 μ T, da intendersi come mediana dei valori nell'arco delle 24 ore nelle normali condizioni di esercizio.” [art. 3, comma 2];

“Nella progettazione di nuovi elettrodotti in corrispondenza di aree gioco per l'infanzia, di ambienti abitativi, di ambienti scolastici e di luoghi adibiti a permanenze non inferiori a quattro ore e nella progettazione dei nuovi insediamenti e delle nuove aree di cui sopra in prossimità di linee ed installazioni elettriche già presenti nel territorio, ai fini della progressiva minimizzazione dell'esposizione ai campi elettrici e magnetici generati dagli elettrodotti operanti alla frequenza di 50 Hz, è fissato l'obiettivo di qualità di 3 μ T per il valore dell'induzione magnetica, da intendersi come mediana dei valori nell'arco delle 24 ore nelle normali condizioni di esercizio”. [art. 4]

In sintesi, quindi, il DPCM 8/7/03 fissa:

- in 100 μ T per l'induzione magnetica e 5 kV/m per il campo elettrico, intesi come valori efficaci, i limiti di esposizione per la protezione della popolazione dai campi elettromagnetici a 50 Hz generati dagli elettrodotti;
- in 10 μ T il valore di attenzione, introdotto come misura di cautela, che si applica nelle aree di gioco per l'infanzia, negli ambienti abitativi e scolastici e in tutti i luoghi in cui possono essere presenti persone per almeno 4 h al giorno;
- in 3 μ T l'obiettivo di qualità che si applica ai nuovi elettrodotti nelle vicinanze dei sopraccitati ambienti, nonché ai nuovi insediamenti e edifici in prossimità di linee ed installazioni elettriche esistenti.

Il D.M. Ambiente del 29 maggio 2008, indica la metodologia da adottarsi per la determinazione delle fasce di rispetto pertinenti alle linee elettriche aeree e interrato, esistenti e in progetto. Esso, tra le altre, introduce le seguenti definizioni:

fascia di rispetto: è lo spazio circostante ad un elettrodotto, che comprende tutti i punti al di sotto e al di sopra del livello del suolo caratterizzati da un'induzione magnetica superiore o uguale all'obiettivo di qualità specificato dal DPCM 08/07/2003. All'interno delle fasce di rispetto non è consentita alcuna destinazione di edifici ad uso residenziale, scolastico, sanitario ovvero ad uso che comporti una permanenza non inferiore a quattro ore.

distanza di prima approssimazione (DPA): per le linee è la distanza, in pianta sul livello del suolo, dalla proiezione del centro linea che garantisce che ogni punto la cui proiezione al suolo disti dalla proiezione del centro linea più di DPA si trovi all'esterno delle fasce di rispetto. Per le cabine è la distanza, in pianta sul livello del suolo, da tutte le pareti della cabina stessa che garantisce i requisiti di cui sopra.

Il parametro di corrente da considerare per la determinazione della fascia di rispetto è la corrente massima di esercizio in servizio normale dell'elettrodotto (ai sensi della norma CEI 11-60).

Lo stesso D.M. 29/05/2008, al punto 3.2 dell'allegato, indica che la metodologia si applica a tutti gli elettrodotti esistenti o in progetto, con linee interrate o aeree, ad esclusione delle seguenti:

- linee esercite a frequenze diverse da 50 Hz (esempio linee ferroviaria a 3 kV)
- linee di classe zero secondo il Decreto interministeriale 21/03/88 (quali linee telefoniche, segnalazione e comando a distanza...)
- linee di prima classe secondo il Decreto interministeriale 21/03/88 (ovvero linee con tensione nominale inferiore a 1 kV e linee in cavo per illuminazione pubblica con tensione inferiore a 5 kV)
- linee MT in cavo cordato ad elica (interrate o aeree).

Il D.lgs 159/2016 recepisce la Direttiva 2013/35/UE in materia di tutela della salute e sicurezza dei lavoratori dai rischi dovuti all'esposizione ai campi elettromagnetici; mira a trattare tutti gli effetti biofisici diretti e gli effetti indiretti noti provocati dai campi elettromagnetici.

Le disposizioni contenute nella Direttiva, e quindi nel D.Lgs 159/2016, consistono nelle prescrizioni minime per promuovere miglioramenti negli ambienti di lavoro, al fine di garantire un adeguato livello di protezione della salute e della sicurezza dei lavoratori, nel caso di attività comportanti esposizioni ai campi elettromagnetici.

Allo scopo vengono:

- definite le grandezze fisiche concernenti l'esposizione ai campi elettromagnetici;
- definiti, in specifiche tabelle, i valori limite di esposizione (VLE) per gli effetti sensoriali e sanitari relativi ai campi elettrici interni ed i valori di azione (VA) per consentire la conformità ai pertinenti VLE.
- definite procedure per aiutare i datori di lavoro, in particolare le piccole e medie imprese, a ottemperare agli obblighi previsti dalla direttiva stessa.

4 CENNI DI TEORIA

4.1 CAMPI ELETTRICI

Il metodo di calcolo qui descritto è quello delle cariche equivalenti semplificato: si rinuncia infatti a studiare l'esatta distribuzione delle cariche sulle superficie dei conduttori e si suppone che esse siano concentrate al centro degli stessi, con una densità lineare di carica costante. Per la determinazione delle cariche presenti sui diversi conduttori della linea ci si avvale del principio delle immagini, in base al quale un piano equipotenziale a potenziale nullo (quale si suppone essere il terreno) può essere simulato con una configurazione di cariche immagini, cioè di cariche di segno opposto a quelle che generano il campo e disposte specularmente rispetto al piano stesso. In questo modo ci si riduce ad un sistema di conduttori tra loro paralleli di cui sono noti i potenziali $V(t)$. È così possibile calcolare le cariche lineari indotte presenti su di essi attraverso la relazione:

$$[\lambda(t)] = [C] \cdot [V(t)]$$

dove $[V(t)]$ è il vettore colonna delle tensioni, $[\lambda(t)]$ il vettore colonna delle cariche lineari presenti sui conduttori e $[C]$ la matrice quadrata dei coefficienti delle mutue capacità per unità di lunghezza. L'espressione può essere anche scritta in termini di fasori:

$$[\lambda] = [C] \cdot [V]$$

La matrice $[C]$ è costante, simmetrica e dipende solo dalla configurazione geometrica dei conduttori: essa si ricava invertendo la matrice $[P]$ dei coefficienti di potenziale (coefficienti di Maxwell) che esprimono ciascun potenziale in funzione di tutte le densità lineari di carica; gli elementi di $[P]$ sono così definiti:

$$p_{ii} = \frac{1}{2\pi\epsilon_0} \ln \frac{2y_i}{r_i} \quad p_{ij} = p_{ji} = \frac{1}{2\pi\epsilon_0} \ln \frac{D_{ij}'}{D_{ij}}$$

dove, come illustrato in Figura 4-1, r_i è il raggio del conduttore i -esimo, y_i la sua altezza dal suolo, D_{ij} la distanza tra i conduttori i -esimo e j -esimo e D_{ij}' la distanza tra il conduttore i -esimo e l'immagine del conduttore j -esimo. In particolare:

$$D_{ij} = D_{ji} = \sqrt{(x_i - x_j)^2 + (y_i - y_j)^2}$$
$$D_{ij}' = D_{ji}' = \sqrt{(x_i - x_j)^2 + (y_i + y_j)^2}$$

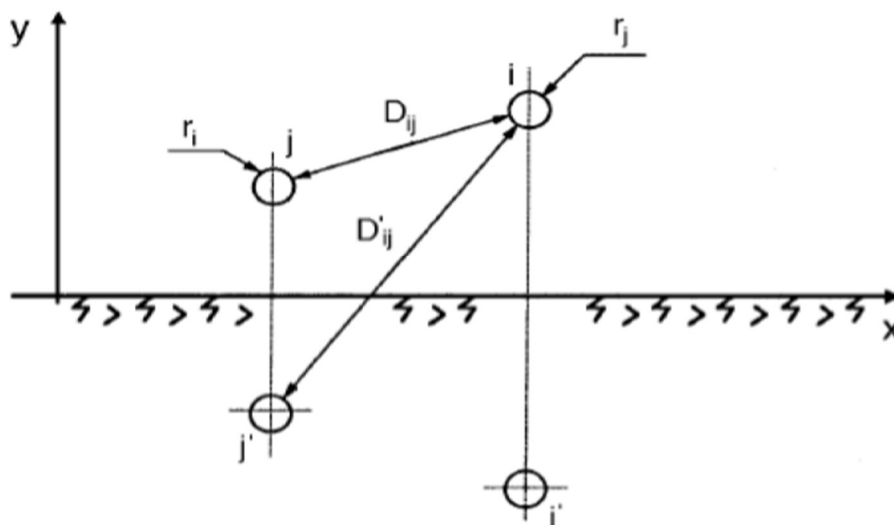


Figura 4-1 – Convenzioni seguite nel calcolo dei coefficienti di potenziale

Nel caso di conduttori a fascio è possibile definire un raggio equivalente r_{eq} , da sostituire nelle formule dei coefficienti di potenziale, secondo la formula seguente:

$$r_{eq} = R \cdot n \sqrt{\frac{n \cdot r}{R}}$$

dove: n è il numero di subconduttori che costituiscono il fascio, r è il loro raggio mentre R è il raggio del fascio di conduttori (Figura 4 2).

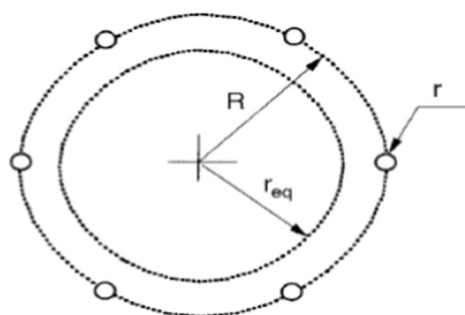


Figura 4-2 – Identificazioni raggi conduttori

Nota la matrice $[P]$ si ricavano le densità lineari di carica sui conduttori:

$$[\lambda] = [P]^{-1} \cdot [V]$$

Una volta note le densità lineari di carica presenti sui conduttori, è possibile procedere al calcolo del campo elettrico da esse generato sovrapponendo gli effetti dei conduttori e delle loro immagini.

Applicando infatti la legge di Gauss in forma integrale nel caso di un conduttore di lunghezza infinita con densità lineare di carica costante si ottiene:

$$\vec{E} = \frac{\lambda}{2\pi\epsilon_0 \cdot d} \vec{u}_r$$

dove d è la distanza dal conduttore rettilineo e \vec{u}_r è il versore unitario con direzione radiale dal conduttore stesso. Considerando il sistema di riferimento di Figura 4 1, in cui (x_i, y_i) sono le coordinate del conduttore i -esimo, e sommando gli effetti dei vari conduttori – raccogliendo tra loro le espressioni relative a ciascun conduttore ed alla sua immagine - si ottengono le espressioni delle singole componenti (fasoriali) del vettore del campo elettrico:

$$E_x = \frac{1}{2\pi\epsilon_0} \sum_i \lambda_i \left[\frac{x - x_i}{(x - x_i)^2 + (y - y_i)^2} - \frac{x - x_i}{(x - x_i)^2 + (y + y_i)^2} \right]$$

$$E_y = \frac{1}{2\pi\epsilon_0} \sum_i \lambda_i \left[\frac{y - y_i}{(x - x_i)^2 + (y - y_i)^2} - \frac{y + y_i}{(x - x_i)^2 + (y + y_i)^2} \right]$$

4.2 CAMPI MAGNETICI

Il calcolo dell'induzione magnetica risulta più semplice rispetto a quello del campo elettrico per i seguenti motivi:

- non è necessario calcolare il valore delle cariche lineari indotte sui conduttori in quanto i valori di induzione dipendono direttamente dalle correnti note;
- il terreno viene considerato come un piano avente permeabilità relativa pari a 1, e quindi nei calcoli si trascura il contributo delle correnti immagini.

Per il calcolo dell'induzione magnetica si ricorre alla legge di Biot - Savart che esprime in un generico punto dello spazio il valore dell'induzione magnetica B generata da un conduttore rettilineo percorso da una corrente I attraverso la formula:

$$\vec{B} = \frac{\mu_0}{2\pi} \frac{I}{d} \vec{u}_l \times \vec{u}_r$$

dove d è la distanza tra il conduttore ed il punto di calcolo; \vec{u}_l e \vec{u}_r indicano, rispettivamente, il verso della corrente e della relativa normale; \times indica il prodotto vettoriale.

Ricorrendo al medesimo sistema di riferimento utilizzato per il calcolo del campo elettrico (Figura 4 1), ed essendo il versore del campo dovuto al conduttore i -esimo pari a:

$$\vec{u}_{B,i} = \vec{u}_{l,i} \times \vec{u}_{r,i} = - \frac{y - y_i}{d_i} \vec{u}_x + \frac{x - x_i}{d_i} \vec{u}_y$$

si ottengono le seguenti formule per il calcolo delle componenti spaziali (fasoriali) dell'induzione magnetica, quale contributo delle correnti nei diversi conduttori:

$$\mathbf{B}_x = \frac{\mu_o}{2\pi} \sum_i \mathbf{I}_i \left[\frac{y_i - y}{(x - x_i)^2 + (y - y_i)^2} \right]$$
$$\mathbf{B}_y = \frac{\mu_o}{2\pi} \sum_i \mathbf{I}_i \left[\frac{x - x_i}{(x - x_i)^2 + (y - y_i)^2} \right]$$

5 CALCOLO DEI CAMPI ELETTROMAGNETICI

5.1 CAMPI ELETTROMAGNETICI IMPIANTO FOTOVOLTAICO

5.1.1 Moduli fotovoltaici

I moduli fotovoltaici lavorano in corrente e tensione continue e non in corrente alternata; per cui la generazione di campi variabili è limitata ai soli transitori di corrente (durante la ricerca del MPP da parte dell'inverter, e durante l'accensione o lo spegnimento) e sono comunque di brevissima durata. Nella certificazione dei moduli fotovoltaici alla norma CEI 82-8 (IEC 61215) non sono comunque menzionate prove di compatibilità elettromagnetica, poiché assolutamente irrilevanti.

5.1.2 Inverter

Gli inverter sono apparecchiature che al loro interno utilizzano un trasformatore ad alta frequenza per ridurre le perdite di conversione. Essi, pertanto, sono costituiti per loro natura da componenti elettronici operanti ad alte frequenze. D'altro canto, il legislatore ha previsto che tali macchine, prima di essere immesse sul mercato, possiedano le necessarie certificazioni a garantirne sia l'immunità dai disturbi elettromagnetici esterni, sia le ridotte emissioni per minimizzarne l'interferenza elettromagnetica con altre apparecchiature elettroniche posizionate nelle vicinanze o con la rete elettrica stessa (via cavo).

A questo scopo gli inverter prescelti possiedono la certificazione di rispondenza alle normative di compatibilità elettromagnetica (EMC) (CEI EN 50273 (CEI 95-9), CEI EN 61000-6-3 (CEI 210-65), CEI EN 61000-2-2 (CEI 110-10), CEI EN 61000-3-2 (CEI 110-31), CEI EN 61000-3-3 (CEI 110-28), CEI EN 55022 (CEI 110-5), CEI EN 55011 (CEI 110-6), quindi gli inverter di progetto avranno emissioni certificate e conformi alla normativa vigente. Di conseguenza anche per gli inverter le emissioni saranno poco significative ai fini della presente valutazione, come tra l'altro si riscontra facilmente dalla normativa di settore.

5.1.3 Cabine di conversione (Inverter station)

Per quanto riguarda i componenti dell'impianto sono da considerare le cabine elettriche di campo, all'interno delle quali, la principale sorgente di emissione è il trasformatore BT/MT.

In questo caso si valutano le emissioni dovute al trasformatore di potenza maggiore tra le 4 Power Station considerate nell'impianto, ossia da 4400 kVA collocato nelle cabine di trasformazione. La presenza dei trasformatori BT/MT viene usualmente presa in considerazione limitatamente alla generazione di un campo magnetico nei locali vicini a quelli di cabina.

In base al DM del MATTM del 29.05.2008, cap.5.2.1, l'ampiezza delle DPA si determina come di seguito descritto.

Tale determinazione si basa sulla corrente di bassa tensione del trasformatore e considerando una distanza dalle fasi pari al diametro dei cavi reali in uscita dal trasformatore. Per determinare le DPA si applica quanto esposto nel cap. 5.2.1 del DM, e cioè:

$$\frac{DPA}{\sqrt{I}} = 0,40942 \cdot x^{0,5242}$$

dove:

DPA = distanza di Prima Approssimazione (m)

I = Corrente Nominale (A)

X = diametro dei cavi (m)

Nel caso specifico del trasformatore si deve considerare la corrente nominale lato BT In max di 4239 A. I collegamenti verso l'inverter sono realizzati in barre rigide in rame 2x3x2000 mm². Per poter però utilizzare la formula precedente, si può ragionevolmente assumere che i collegamenti siano effettuati in cavo, con una formazione "equivalente" lato BT con una formazione 10 x 3 x (240) mm². Il diametro esterno del cavo tipo FG16OR16 è pari a circa 29,2mm per singolo conduttore. Applicando la formula sopra riportata, si ottiene una DPA, arrotondata per eccesso all'intero superiore, di 4 m.

D'altra parte, nel caso in questione, si deve considerare che le cabine inverter sono posizionate all'aperto, all'interno dell'area recintata e normalmente non sono permanentemente presidiate.

5.1.4 Cabine 36 kV e Cabina utente

Per quanto riguarda i componenti dell'impianto resta da considerare la cabina elettrica 36 kV di consegna, che sarà situata nella nuova SSE, e le cabine 36 kV dei campi fotovoltaici, con funzione di raggruppamento delle linee 36 kV di impianto.

Per entrambe le tipologie di cabine, la principale sorgente di emissione è rappresentata dalle correnti dei quadri 36 kV stessi, in quanto in questo caso il trasformatore AT/BT è utilizzato solo per l'alimentazione dei servizi ausiliari ed ha pertanto una taglia molto modesta. La massima corrente BT, infatti, considerando un trasformatore da 100 kVA, è pari a soli 148 A (applicando le stesse considerazioni del paragrafo precedente si otterrebbe una DPA di pochi cm).

Relativamente ai quadri 36 kV, la massima corrente in impianto è pari a 783 A, per le linee che raccolgono l'intera produzione dell'impianto.

Considerando la geometria tipica dei quadri isolati in gas a 36 kV, che prevede una distanza tra le fasi di circa 0,4 m a circa 2 m da terra, con la stessa metodologia di calcolo di seguito descritta per i cavi interrati si ottiene una fascia di rispetto, identica alla DPA, di 5,7 m.

Anche in questo caso si deve però considerare che le cabine si trovano all'interno di aree recintate e non accessibili e normalmente non presidiate.

5.2 CAMPI ELETTROMAGNETICI CAVI 36 kV

5.2.1 Campi elettrici

Dal momento che la rete 36 kV dell'impianto è realizzata mediante cavi schermati, il campo elettrico risultante è nullo e viene quindi trascurato ai fini della presente relazione.

5.2.2 Campi magnetici

5.2.2.1 Metodo di calcolo

Il programma di calcolo utilizzato si basa sui metodi standardizzati dal Comitato Elettrotecnico Italiano, secondo la norma CEI 211-4, "Guida ai metodi di calcolo dei campi elettrici e magnetici generati da linee elettriche".

Il calcolo del campo magnetico è stato sviluppato per le sezioni tipiche identificate lungo il percorso dei cavi 36 kV, andando a calcolare il campo magnetico nelle sue componenti bidirezionali.

Ai fini della determinazione delle fasce di rispetto il campo magnetico è stato calcolato a livello del suolo, tenendo conto delle effettive condizioni di posa dei cavi.

Si è tenuto tale approccio cautelativo ai fini della sicurezza, in modo da considerare la fascia di rispetto più ampia possibile, sebbene sarebbe ammissibile calcolare il campo magnetico ad 1 m dal suolo, come previsto dall'art. 5 del DPCM 08/07/03 e dalla guida CEI 211-6.

Per la corrente è stato considerato il valore massimo generato da ciascun trasformatore, combinando i contributi dei singoli inverter collegati alla rete 36 kV come risultante nelle sezioni considerate.

La corrente generata, infatti, può ridursi notevolmente in funzione della variabilità delle condizioni meteorologiche nel corso della giornata (secondo il citato DPCM, i limiti del campo sono da intendersi come mediana dei valori nell'arco delle 24 ore giornaliere nelle normali condizioni di esercizio).

5.2.2.2 Condizioni di posa

Per le condizioni di posa dei cavi lungo le dorsali si rimanda alle tavole 16a e 16b allegate al presente progetto

Nel presente studio sono state considerate le condizioni di posa più gravose, ovvero quelle con cavi direttamente interrati, in quanto presentano i cavi alla minore profondità e ravvicinati.

5.2.2.3 Risultati

Le sezioni considerate nello studio sono mostrate nelle seguenti figure e riassunte in tabella, che mostra, oltre alle sezioni dei cavi coinvolte, le correnti massime utilizzate nel calcolo dei campi magnetici e nella definizione delle fasce di rispetto, come risultanti dal numero di aerogeneratori collegati ai cavi stessi.



Figura 5-1 – Sezioni per definizione campo magnetico, cavi 36 kV – Area 1

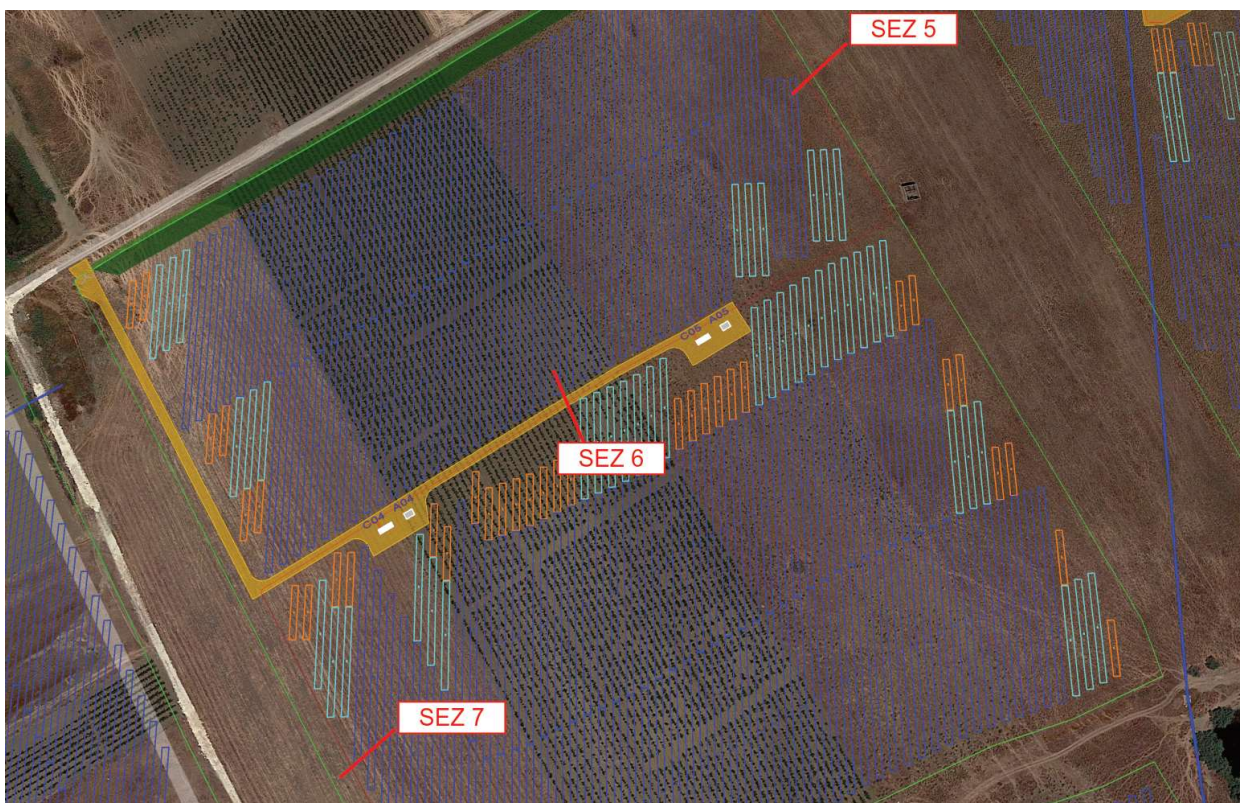


Figura 5-2 – Sezioni per definizione campo magnetico, cavi 36 kV – Area 2

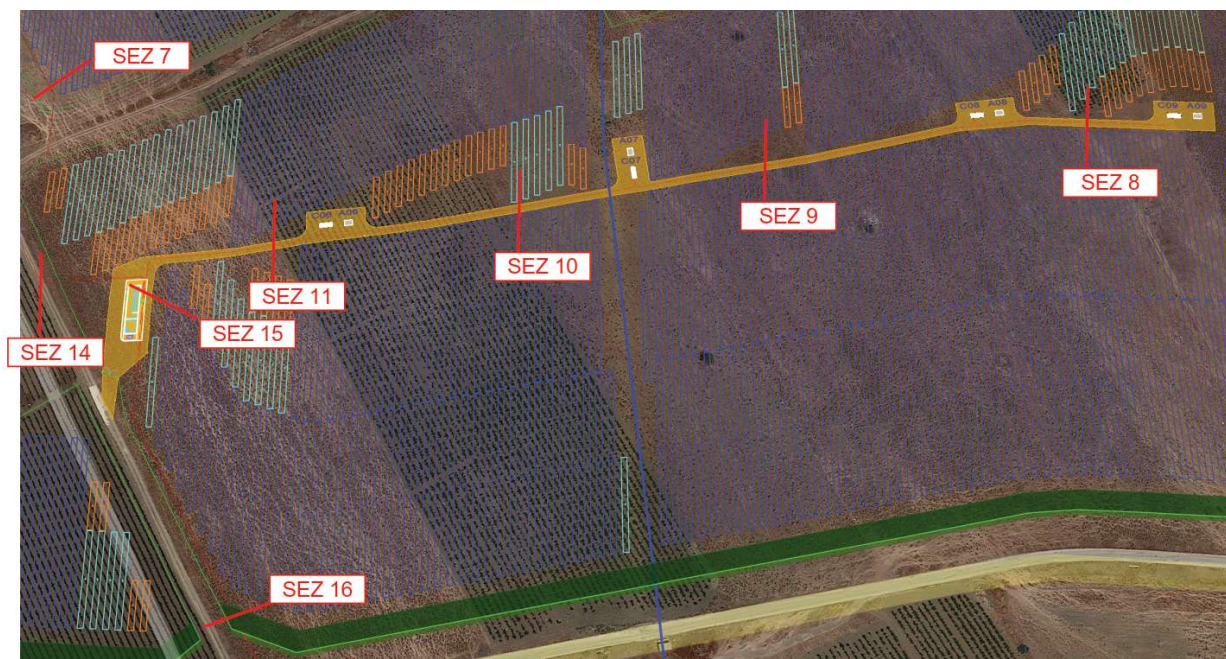


Figura 5-3 – Sezioni per definizione campo magnetico, cavi 36 kV – Area 3



Figura 5-4 – Sezioni per definizione campo magnetico, cavi 36 kV – Area 4

Sez	Descrizione	Sez cavo 1 (mm ²)	I cavo 1 (A)	Sez cavo 2 (mm ²)	I cavo 2 (A)	Sez cavo 3 (mm ²)	I cavo 3 (A)
1	C13: una terna	95	49				
2	C12: una terna	95	96				
3	C11: una terna	95	68				
4	C10: una terna	95	135				
5	T01: una terna	240	234				
6	C05: una terna	400	308				
7	C04: una terna	630	358				
8	C09: una terna	95	71				
9	C08: una terna	95	142				
10	C07: una terna	240	191				
11	C06: una terna	400	241				
12	C01: una terna	95	68				
13	C02: una terna	95	135				
14	C03: una terna	240	185				
15	SSE: tre terne	400	241	630	358	240	185
16	SSE-RTN: due terne	630	391	630	391		

Tabella 5-1 – Sezioni per calcolo campo magnetico

Il campo magnetico calcolato al suolo per ognuna delle sezioni individuate è mostrato nelle seguenti figure.

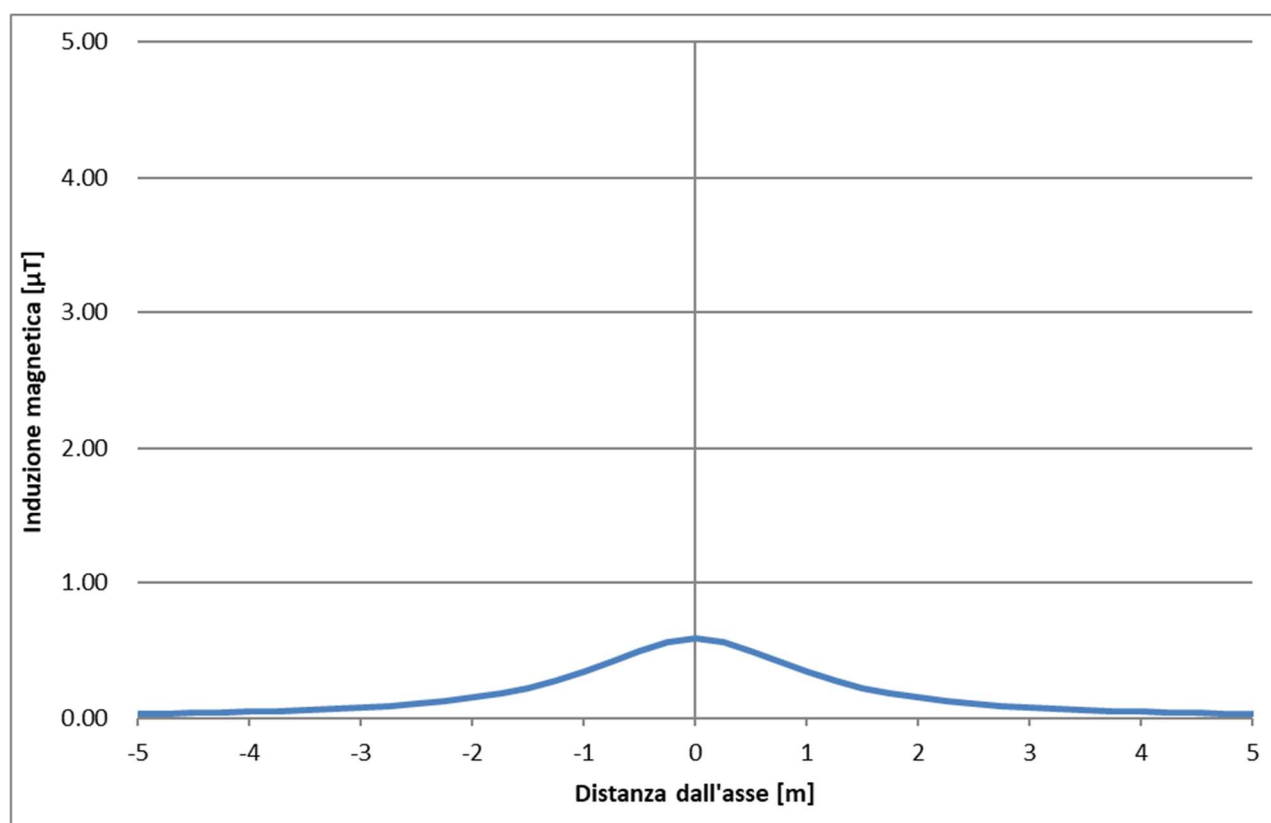


Figura 5-5 – Andamento campo magnetico – Sezione 1

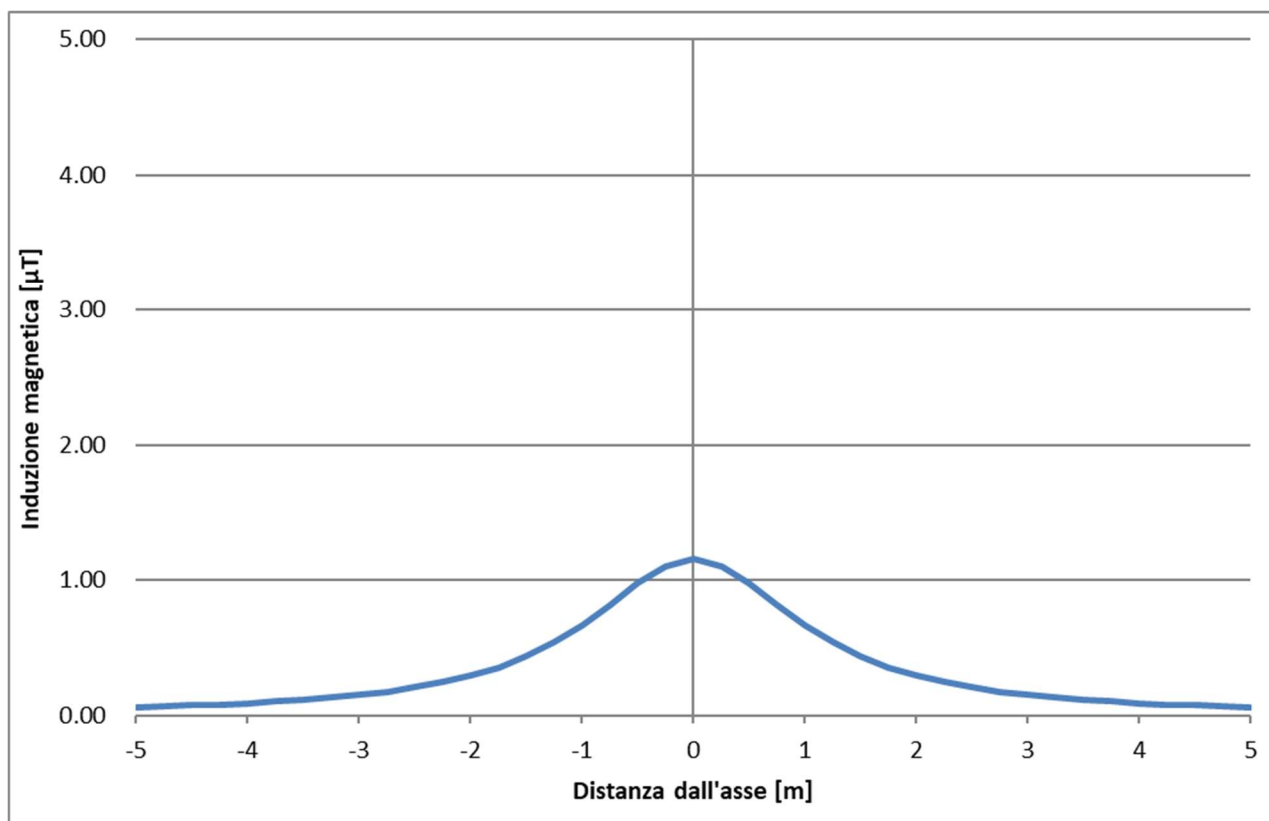


Figura 5-6 – Andamento campo magnetico – Sezione 2

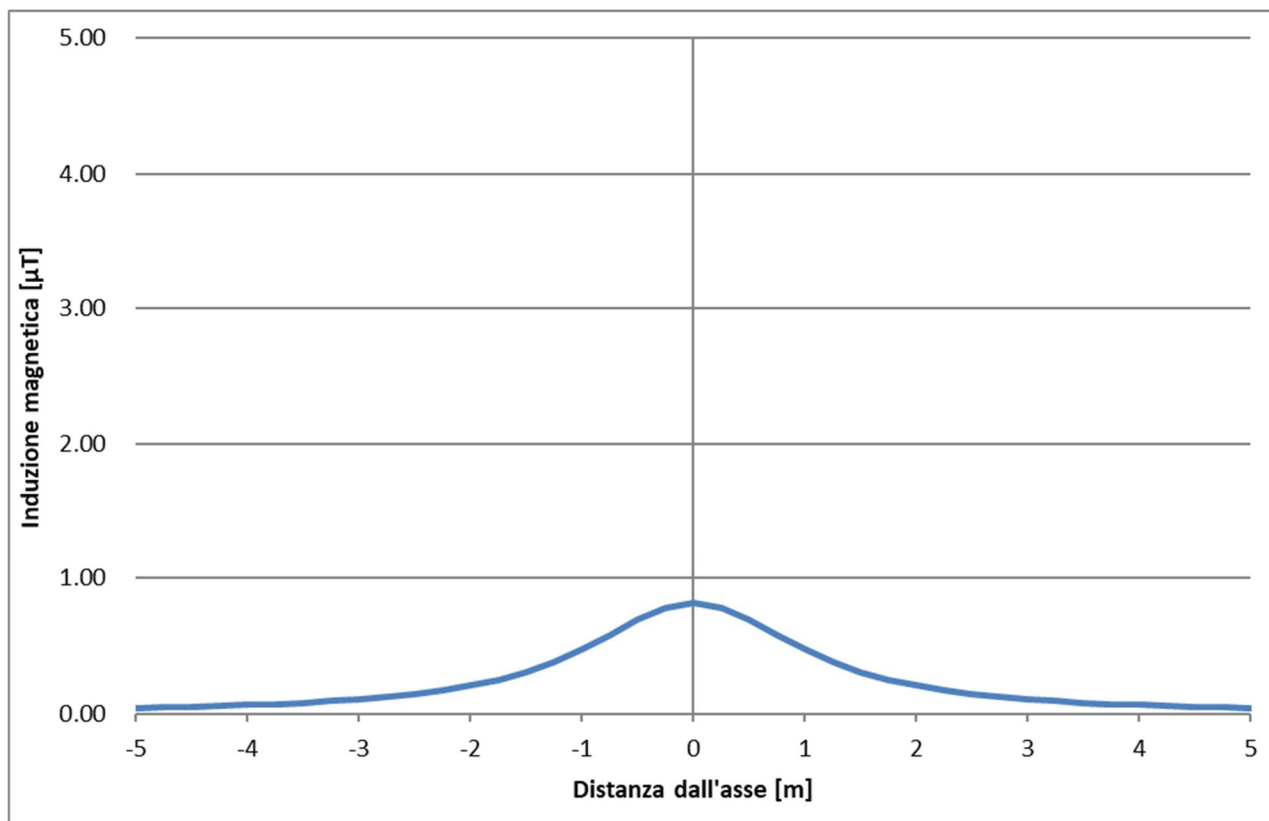


Figura 5-7 – Andamento campo magnetico – Sezione 3

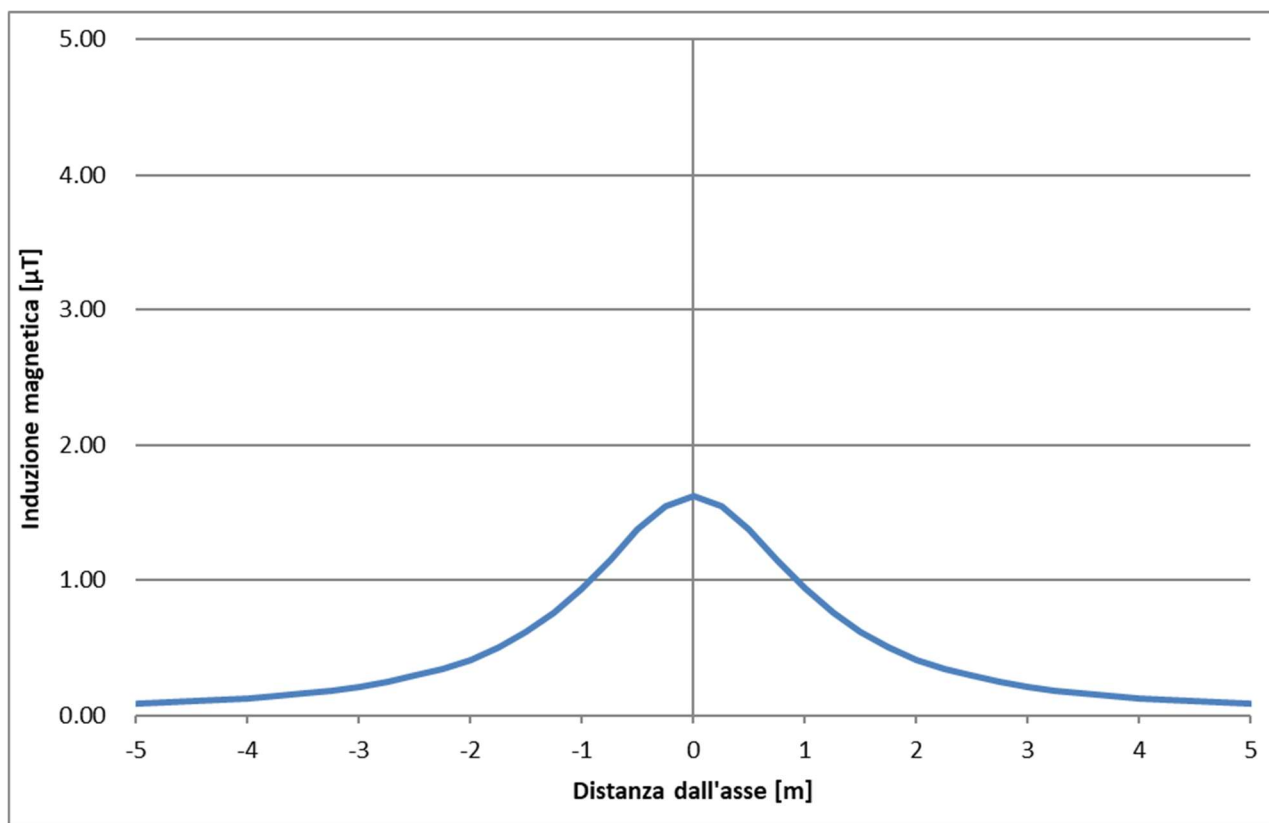


Figura 5-8 – Andamento campo magnetico – Sezione 4

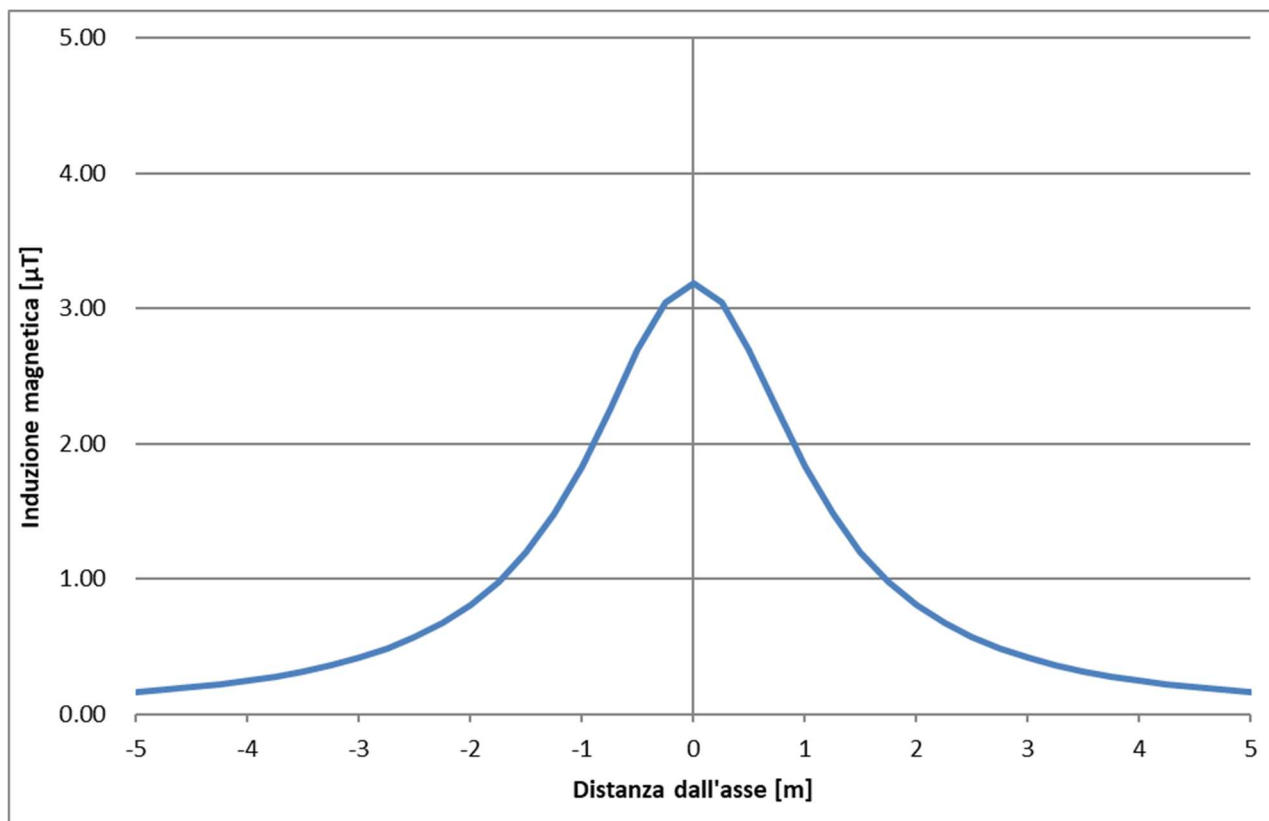


Figura 5-9 – Andamento campo magnetico – Sezione 5

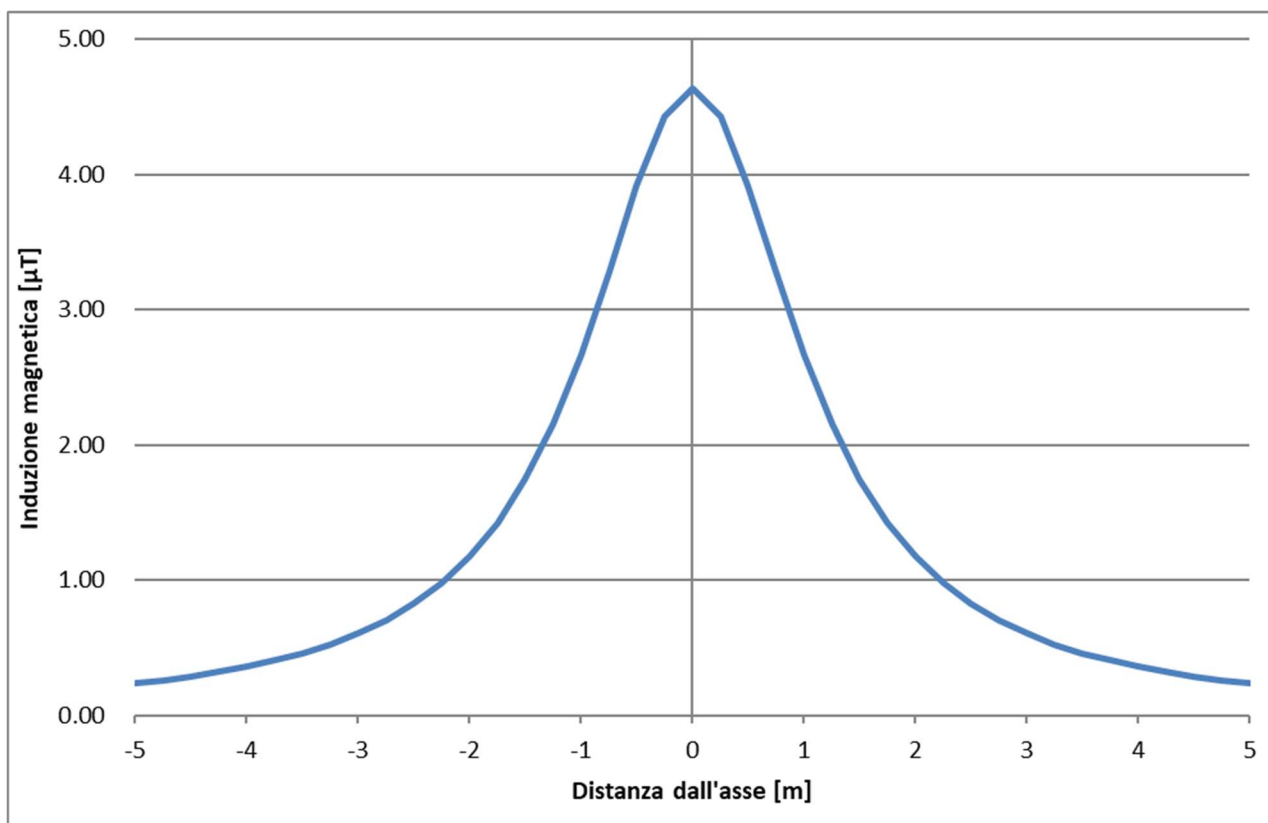


Figura 5-10 – Andamento campo magnetico – Sezione 6

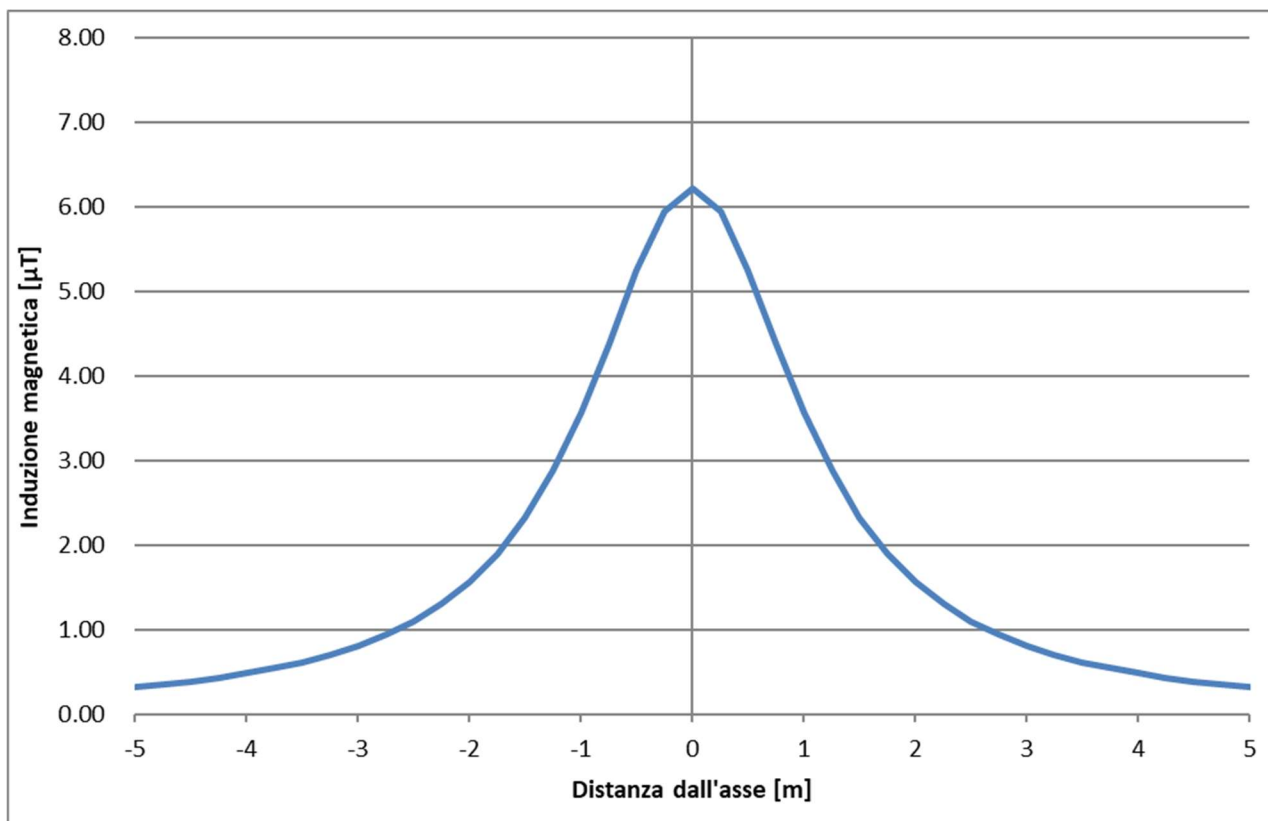


Figura 5-11 – Andamento campo magnetico – Sezione 7

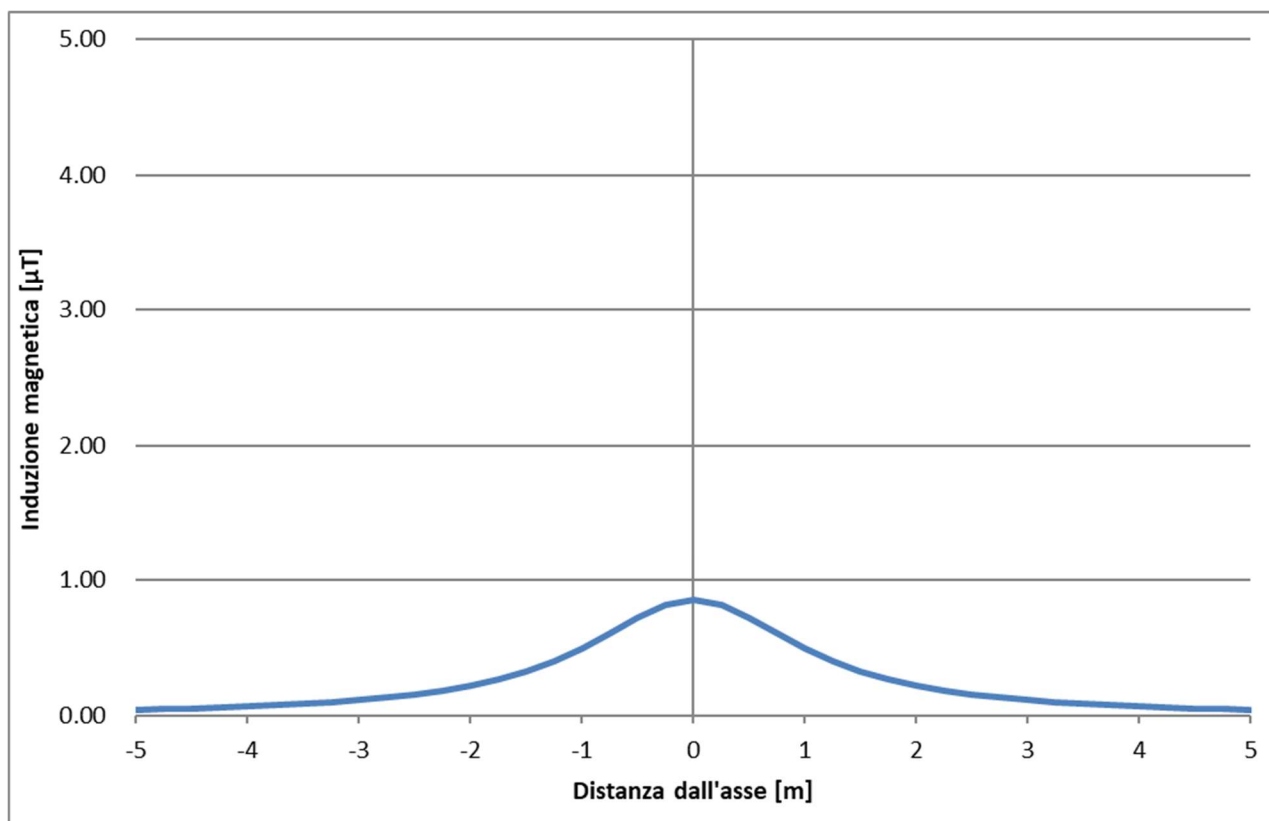


Figura 5-12 – Andamento campo magnetico – Sezione 8

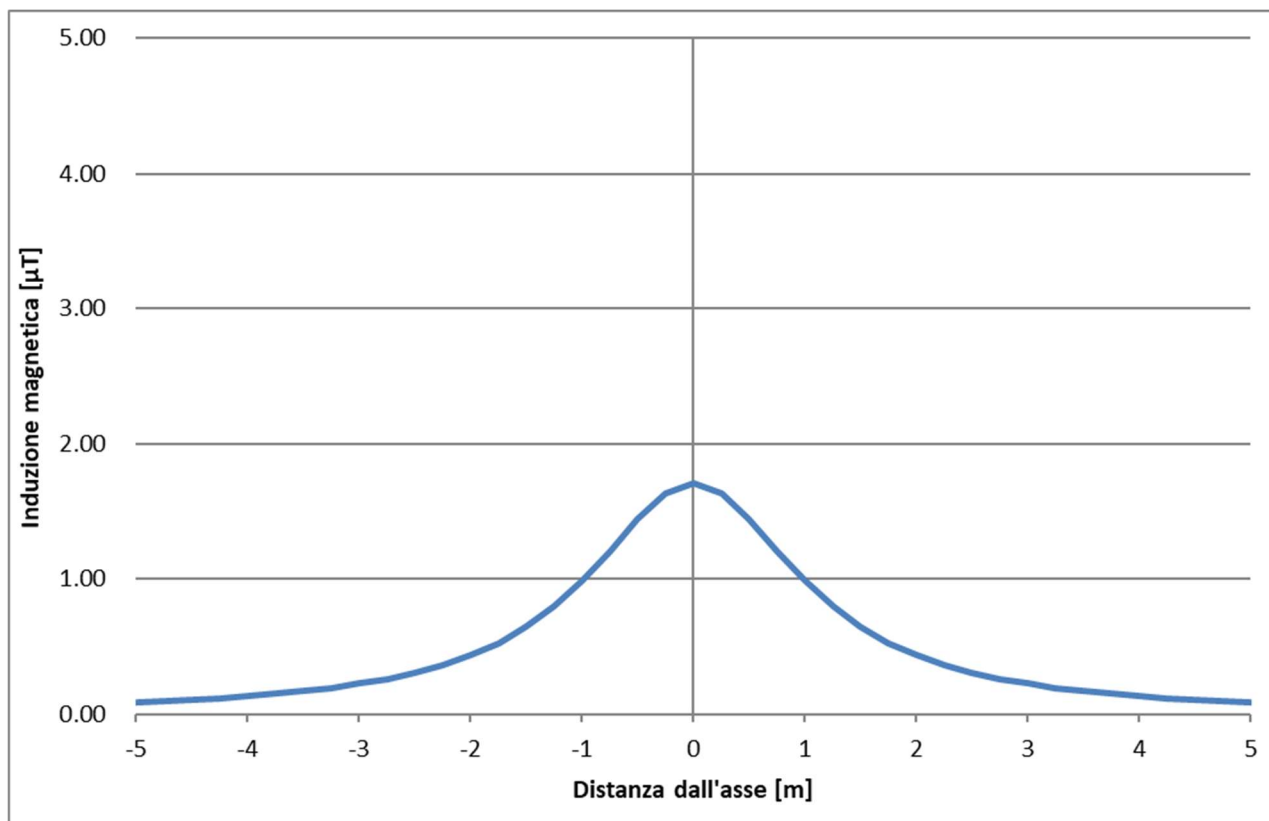


Figura 5-13 – Andamento campo magnetico – Sezione 9

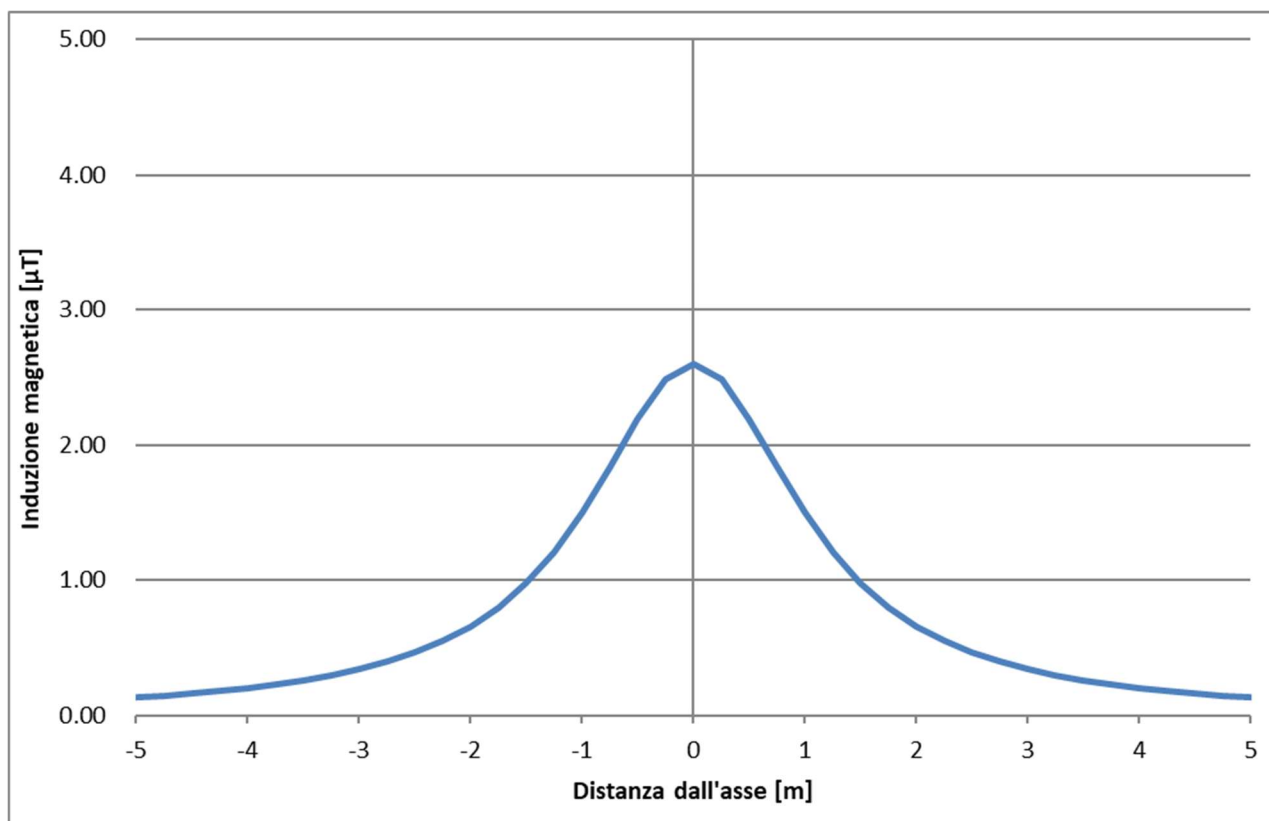


Figura 5-14 – Andamento campo magnetico – Sezione 10

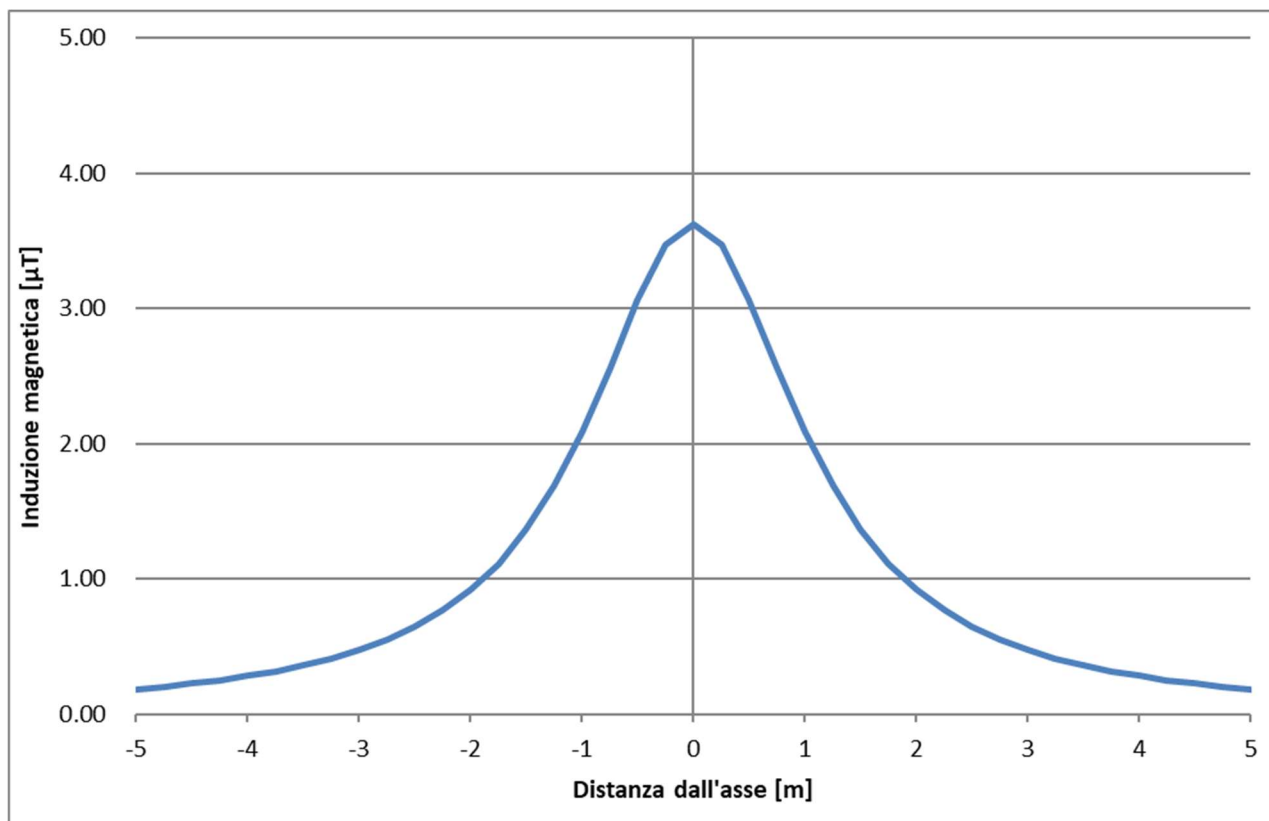


Figura 5-15 – Andamento campo magnetico – Sezione 11

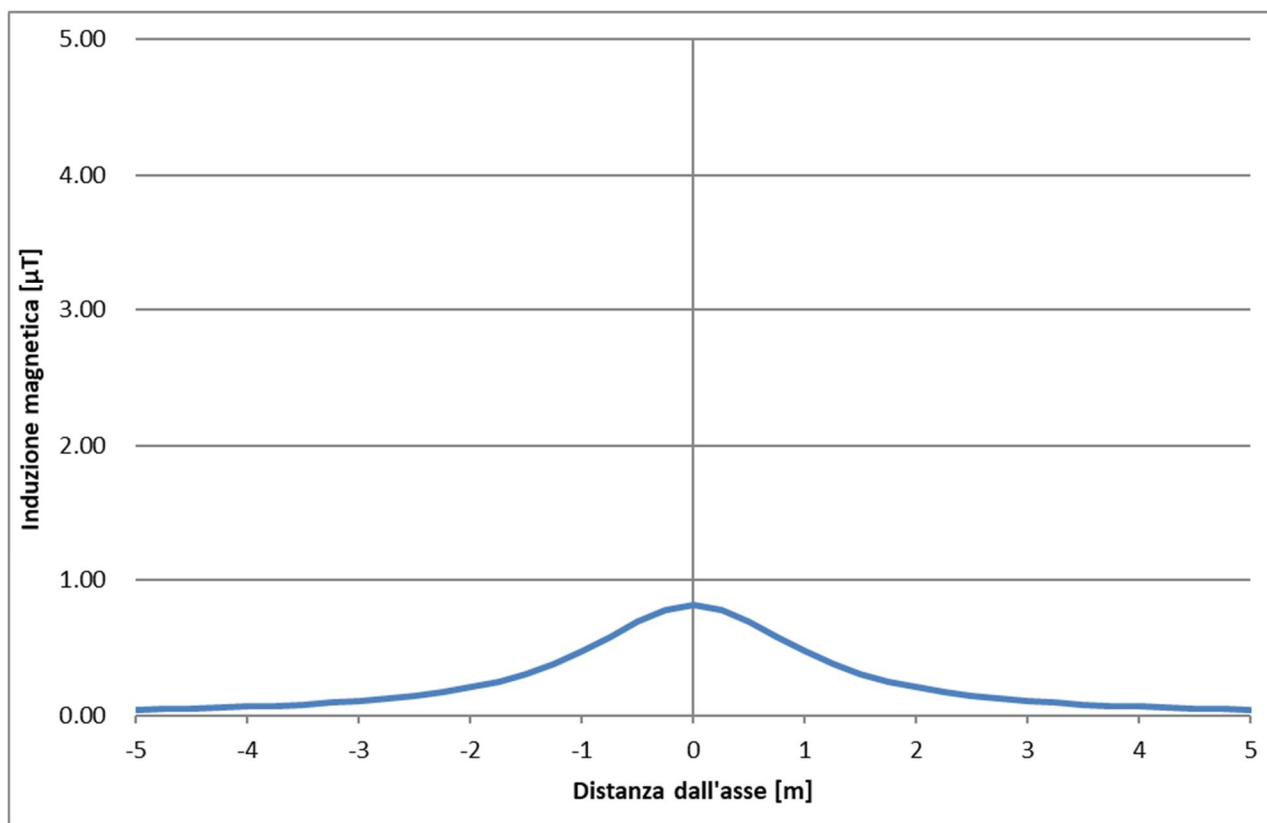


Figura 5-16 – Andamento campo magnetico – Sezione 12

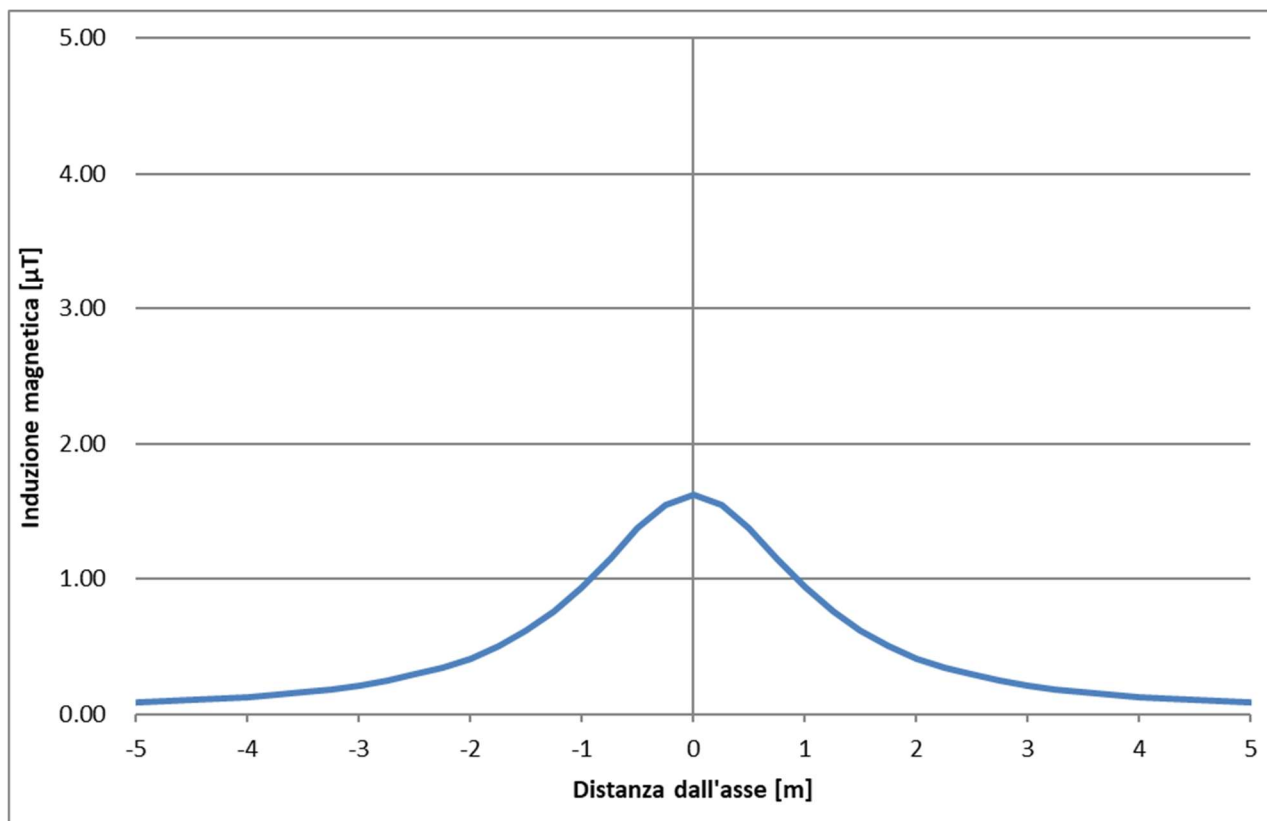


Figura 5-17 – Andamento campo magnetico – Sezione 13

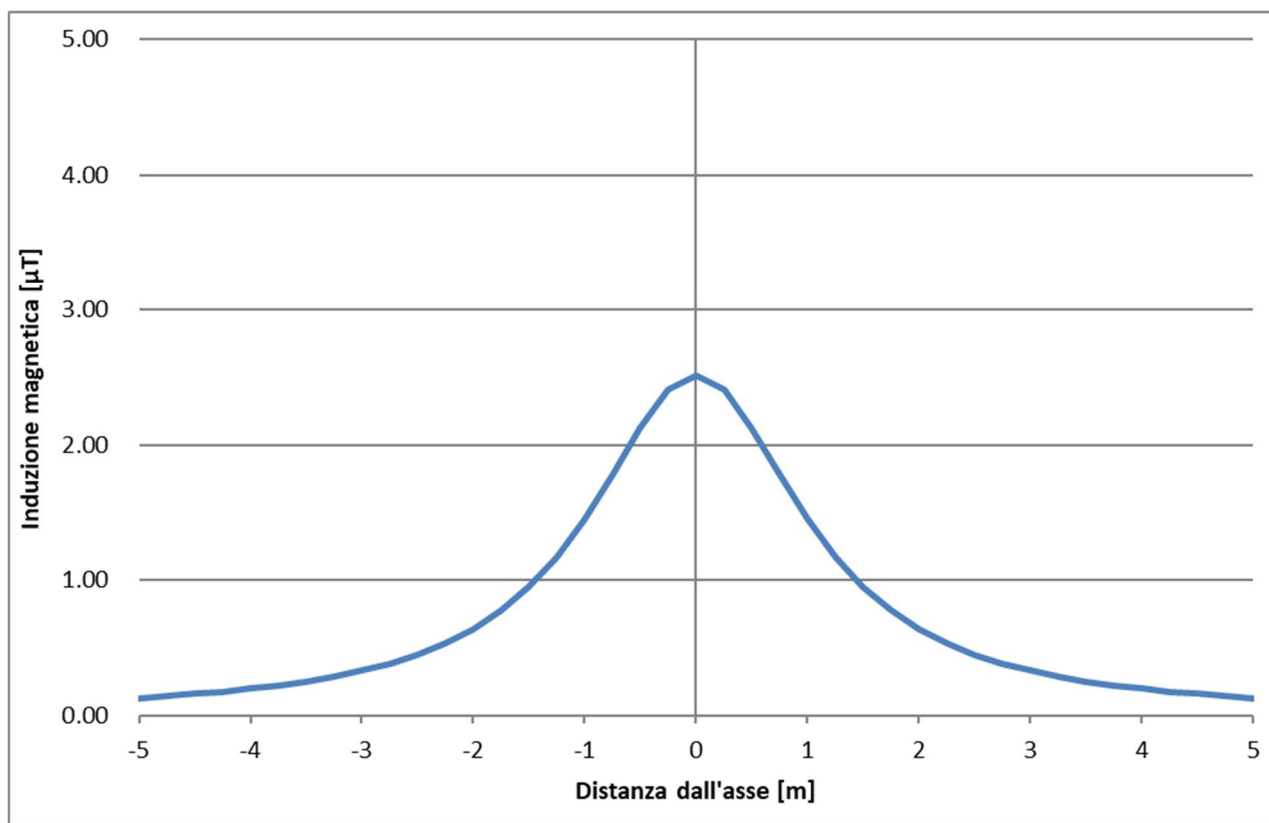


Figura 5-18 – Andamento campo magnetico – Sezione 14

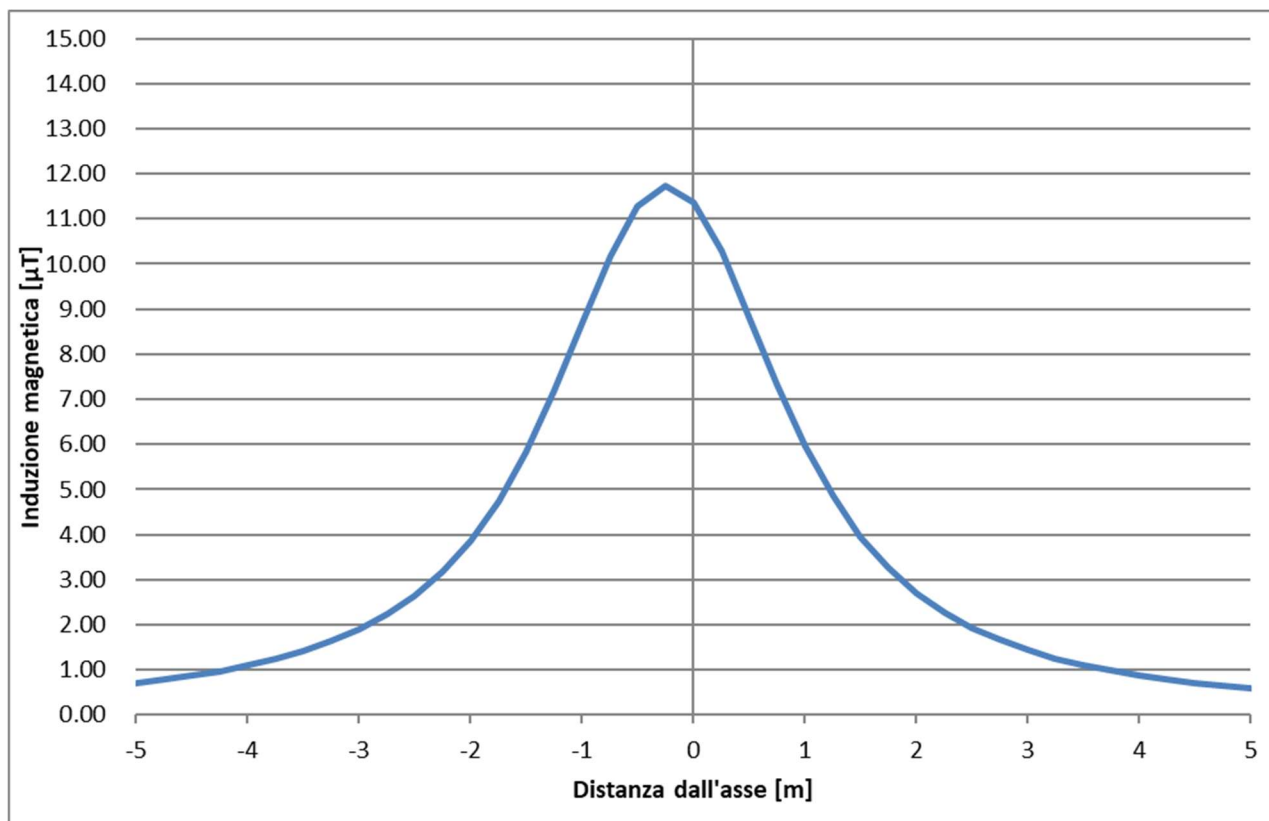


Figura 5-19 – Andamento campo magnetico – Sezione 15

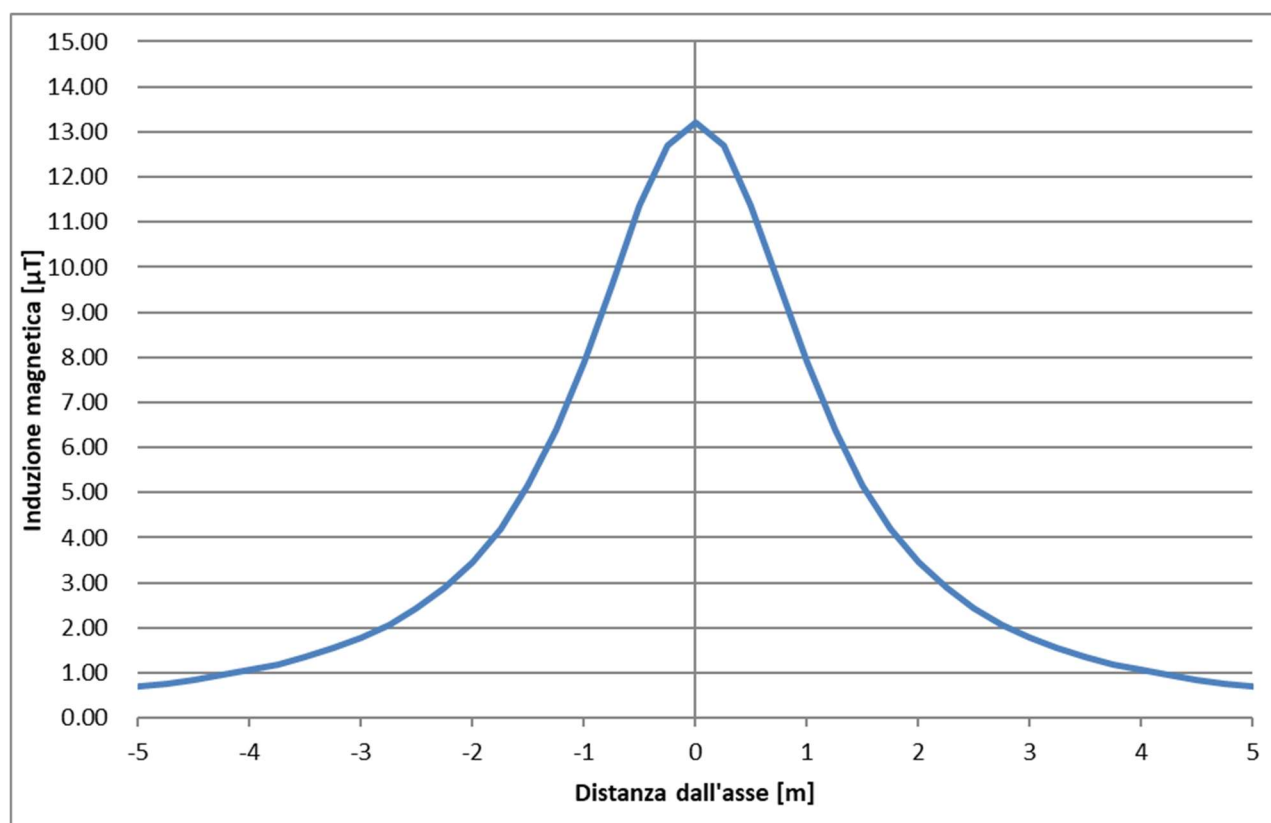


Figura 5-20 – Andamento campo magnetico – Sezione 16

5.2.2.4 Fasce di rispetto

Dalle curve di campo magnetico mostrati nelle figure al precedente paragrafo si possono individuare le fasce di rispetto al suolo, intese come distanza dall'asse della linea, oltre la quale il campo magnetico è inferiore all'obiettivo di qualità a 3 μT imposto dalla norma vigente.

Le fasce di rispetto risultanti sono raccolte nella seguente tabella e devono essere considerate come distanze su ciascun lato dello scavo, a partire dall'asse centrale dello stesso.

Sez	Descrizione	Fascia di rispetto (m)
1	C13: una terna	0,00
2	C12: una terna	0,00
3	C11: una terna	0,00
4	C10: una terna	0,00
5	T01: una terna	0,30
6	C05: una terna	0,90
7	C04: una terna	1,20
8	C09: una terna	0,00
9	C08: una terna	0,00
10	C07: una terna	0,00
11	C06: una terna	0,50

12	C01: una terna	0,00
13	C02: una terna	0,00
14	C03: una terna	0,00
15	SSE: tre terne	2,30
16	SSE-RTN: due terne	2,20

Tabella 5-2 – Fasce di rispetto